

ВЗАИМОДЕЙСТВИЕ УДАРНИКА В ВИДЕ СТАКАНА ИЛИ ЦИЛИНДРА С ЦИЛИНДРИЧЕСКОЙ МИШЕНЬЮ

ГЛУШКО А. И.

Соударение металлических цилиндров лежит в основе экспериментальных исследований откольных явлений. В этих экспериментах с помощью лазерного дифференциального интерферометра регистрируется движение тыльной поверхности мишени. Затем полагают, что вблизи разрыва сплошности среда находится в состоянии одноосного деформированного состояния и, принимая акустическое приближение, определяют напряжения, действующие в сечении откола [1-3]. Практически трудно осуществить соударение так, чтобы лазерный луч отражался от тыльной поверхности мишени в центре симметрии. Так как размеры соударяющихся тел конечны, то неизбежно возникают дифракционные волны, нарушающие однородность полей напряжений и скоростей. Поэтому желательно так подобрать размеры соударяющихся тел, чтобы в некотором круге на тыльной поверхности мишени скорости точек были одинаковы (либо отличались очень мало) и отражение лазерного луча происходило в точке, лежащей внутри этого круга. В указанных экспериментальных работах удалось подобрать размеры соударяющихся тел так, чтобы удовлетворить этим требованиям.

Экспериментальные исследования позволяют сделать лишь косвенное заключение о характере напряженного состояния в среде. Практически единственной возможностью получить не только качественную, но и количественную информацию о полях напряжений и скоростей в среде является численное моделирование процесса соударения. В публикуемой работе рассматривается удар цилиндра по цилиндру и удар стакана по цилиндру и численно исследуются поля напряжений и скоростей как на тыльной поверхности мишени, так и внутри мишени. Под стаканом понимается составное тело вращения, одна часть которого (стенки стакана) представляет собой цилиндрическую трубу, а другая (дно стакана) — сплошной цилиндр.

При расчетах были приняты следующие размеры соударяющихся тел. Мишень: радиус $R_3 = 12 \cdot 10^{-3}$ м, высота $h_2 = 7,5 \cdot 10^{-3}$ м; цилиндрический ударник: радиус $R_2 = 7,5 \cdot 10^{-3}$ м, высота $h = 2 \cdot 10^{-3}$ м; размеры стакана: высота всего стакана $h_c = 10^{-2}$ м, толщина стенок стакана $d = 10^{-3}$ м, высота дна стакана $h_d = 2 \cdot 10^{-3}$ м, радиус стакана $R_2 = 7,5 \cdot 10^{-3}$ м. Исследовалось соударение алюминиевых тел; скорость продольных волн в алюминии $c_1 = 6,12 \cdot 10^3$ м/с, скорость поперечных волн $c_2 = 2,94 \cdot 10^3$ м/с.

Будем рассматривать соударение твердых тел в цилиндрической системе координат; обозначим расстояние от начала отсчета через r , полярный угол — через φ , координату по оси Z — через z . Для описания свойств соударяющихся тел примем модель линейно-упругой среды (t — время, ρ — плотность, R — радиус мишени). Компоненты вектора скорости обозначим через $v_r = v^1$, $v_z = v^3$; физические компоненты тензора напряжений обозначим через $\sigma_{rr} = \sigma^{11}$, $\sigma_{\varphi\varphi} = \sigma^{22}/r^2$, $\sigma_{zz} = \sigma^{33}$, $\tau = \sigma^{12}/r$.

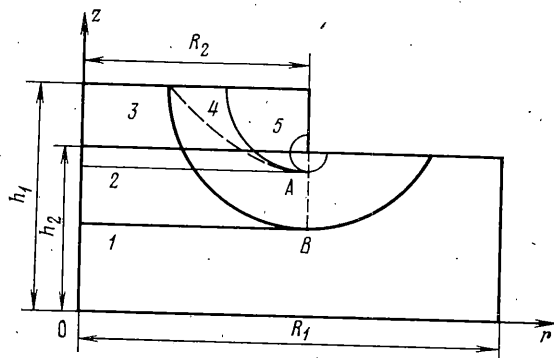
Тогда в безразмерных переменных $t^\circ = c_1 t/R$, $r^\circ = r/R$, $z^\circ = z/R$, $v_r^\circ = v_r/c_1$, $v_z^\circ = v_z/c_1$, $\sigma_r^\circ = \sigma_{rr}/\rho c_1^2$, $\sigma_z^\circ = \sigma_{zz}/\rho c_1^2$, $\sigma_\varphi^\circ = \sigma_{\varphi\varphi}/\rho c_1^2$, $\tau^\circ = \tau/\rho c_1^2$ система уравнений, описывающая движения сплошной среды, записывается следующим образом (градус над переменными опущен):

$$\begin{aligned} \frac{\partial v_r}{\partial t} &= \frac{\partial \sigma_r}{\partial r} + \frac{\partial \tau}{\partial z} + \frac{\sigma_r - \sigma_\varphi}{r}, & \frac{\partial v_z}{\partial t} &= \frac{\partial \tau}{\partial r} + \frac{\partial \sigma_z}{\partial z} + \frac{\tau}{r} \\ \frac{\partial \sigma_r}{\partial t} &= \frac{\partial v_r}{\partial r} + (1-2c^2) \left(\frac{\partial v_z}{\partial z} + \frac{v_r}{r} \right), & & (1) \\ \frac{\partial \sigma_z}{\partial t} &= (1-2c^2) \frac{\partial v_r}{\partial r} + \frac{\partial v_z}{\partial z} + (1-2c^2) \frac{v_r}{r} \\ \frac{\partial \sigma_\varphi}{\partial t} &= (1-2c^2) \left(\frac{\partial v_r}{\partial r} + \frac{\partial v_z}{\partial z} \right) + \frac{v_r}{r}, & \frac{\partial \tau}{\partial t} &= c^2 \left(\frac{\partial v_z}{\partial r} + \frac{\partial v_r}{\partial z} \right), \quad c = \frac{c_2}{c_1} \end{aligned}$$

Примем, что начало соударения соответствует $t=0$. Область пространства, занятую соударяющимися телами, обозначим G , внешнюю поверхность тел — Γ . Тогда задача соударения формулируется следующим образом. При $t > 0$ найти решение системы (1), удовлетворяющее начальным условиям $\sigma_r = \sigma_\varphi = \sigma_z = \tau = v_r = 0$ в G ; $v_z = 0$ в области, ограниченной мишенью; $v_z = v_0 = \text{const}$ в области, ограниченной ударником; на границе Γ нормальные и касательные напряжения равны нулю.

На контакте между ударником и мишенью рассматриваются отдельно как условие полного прилипания, так и условие отскока.

Численное решение задачи получено методом распада произвольного разрыва [4]. Применение метода распада к решению задачи соударения цилиндрических тел



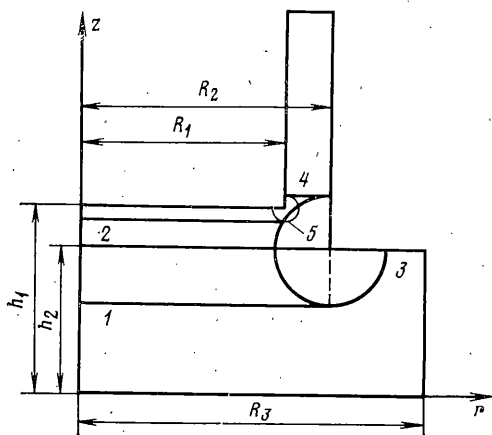
Фиг. 1

рассматривалось, например, в [5]. Там же подробно проанализированы поля напряжений в различные моменты времени процесса соударения.

Обратимся теперь к анализу численных результатов. В рамках линейной теории упругости многие черты процесса соударения становятся ясными из качественного рассмотрения волновых картин в различные моменты времени. Рассмотрим вначале волновые картины, возникающие в среде при ударе цилиндра по цилиндру. В начальные моменты времени от плоскости контакта с постоянной скоростью распространяются плоские волны сжатия: одна «вниз» по мишени, другая «вверх» по ударнику. Одновременно из точек, лежащих на пересечении образующих ударника и плоскости контакта, излучается тороидальная волна разгрузки, распространяющаяся внутрь цилиндров к оси симметрии.

В момент времени $t_1 = h/c_1$ (время пробега продольной волны от плоскости контакта до тыльной поверхности ударника) от границы $z = h_1$ начинается отражение плоской волны сжатия, а дифракция тороидальной волны разгрузки на линии пересечения образующих ударника с плоскостью $z = h_1$ приводит к возникновению второй тороидальной волны. При $t > 2h_1$ волновая картина будет характеризоваться суперпозицией следующих волн (фиг. 1). По мишени распространяются «вниз» плоская волна сжатия и плоская волна разгрузки. На фиг. 1 фронт сжатия обозначен цифрой 1, фронт волны разгрузки — цифрой 2. Расстояние между фронтами равно $2h$ и не зависит от времени. Линии 3, 4, 5 на фиг. 1 соответствуют фронтам тороидальных волн, возникающих в моменты времени $t=0$, $t=h/c_1$, $t=2h/c_1$. Фронты 2, 4, 5 гладко сопрягаются в точке A, а фронты 1, 3 — в точке B; штриховой кривой обозначен фронт головной волны.

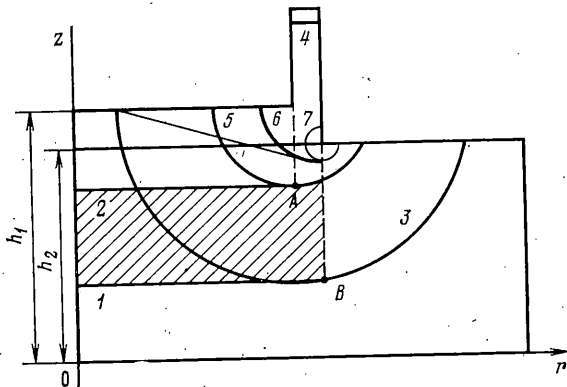
В области, ограниченной осью Z и линиями 1, 2, 3, среда находится в одноосном деформированном состоянии; в области за фронтом тороидальной волны 3 реализуется сложное напряженное состояние, а в остальных точках среды напряжения и скорости равны нулю.



Фиг. 2

Описанная структура волновых фронтов будет сохраняться до тех моментов времени, пока либо не начнется разлет соударяющихся тел, либо фронт тороидальной волны 3 не достигнет оси Z. В первом случае те точки на плоскости контакта, в которых происходит разделение цилиндров, станут источниками сферических волн и в результате этого в ударнике и в мишени возникнут дополнительные волны, интенсивность которых незначительна. Во втором случае из тех точек на оси симметрии, которые пересечет фронт волны 3, будут излучаться сферические волны, а огибающая фронтов этих волн будет определять фронт расходящейся волны.

Перейдем к анализу волновых картин, возникающих в среде при ударе стакана по цилиндру. Так как дно стакана имеет такую же высоту, как и высота цилиндрического ударника, на интервале времени $\Delta t = h/c_1$ задачи об ударе стакана по цилиндру и цилиндра по цилиндру имеют одно и то же решение. В момент времени $t = h/c_1$ в результате дифракции плоской волны сжатия на цилиндрической полости (тыльная поверхность стакана) возникает тороидальная волна разгрузки.



Фиг. 3

Ось этой волны совпадает с окружностью радиуса R , лежащей в плоскости $z=h_1$ (фиг. 2).

На интервале времени $h/c_1 < \Delta t < 2h/c_1$ волновая картина характеризуется следующим образом (фиг. 3). Прямая линия 1 соответствует фронту волны сжатия, распространяющемуся вниз, линия 2 — фронту волны разгрузки, распространяющемуся вниз, линия 4 — фронту волны сжатия, распространяющемуся вверх по стенкам стакана. Дуги окружностей 3, 5 соответствуют тороидальным волнам, возникающим в моменты времени $t=0$ и $t=h/c_1$. В моменты времени $t=L/c_1$, $t=2L/c_1$, $L=((R_1-R_2)^2+h^2)^{1/2}$ возникают еще две тороидальные волны. Фиг. 3 иллюстрирует волновую картину в среде при $t > 2L/c_1$. Здесь дуги окружностей 6, 7 соответствуют тороидальным волнам, возникающим при $t=L/c_1$, $t=2L/c_1$. Линии 1–5 на фиг. 2, 3 определяют положения фронтов в различные моменты времени $h/c_1 < t < 2h/c_1$ и $t > 2L/c_1$ соответственно. Следует отметить, что на фиг. 3, чтобы не загромождать рисунок дополнительными линиями, не показаны фронты головных волн и волновая картина в стенках стакана.

Из фиг. 3 следует, что тороидальные волны 5, 6, 7 не влияют на характер напряженного состояния в области, ограниченной фронтами плоских волн 1, 2. Тогда очевидно, что в этой области поля скоростей и напряжений в среде при ударе стакана по цилиндру будут совпадать с полями скоростей и напряжений при ударе цилиндра по цилиндру, т. е. в этой области наличие стенок стакана никак не сказывается.

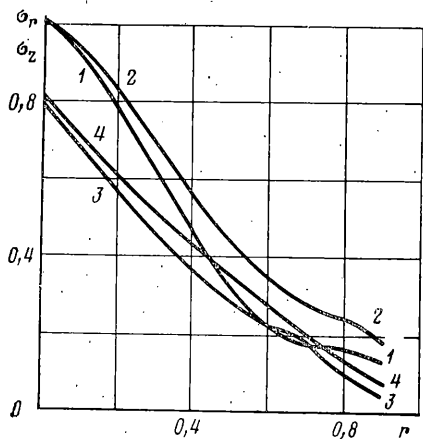
При отражении плоской волны сжатия от свободной поверхности $z=0$ образуется плоская волна разгрузки, распространяющаяся вверх. В момент времени $t=(h+h_1)/c_1$, когда фронты плоских волн разгрузки совпадают при $z=h$, в среде возникают интенсивные растягивающие напряжения.

На фиг. 4 приведены зависимости компонент σ_r и σ_z от r при $z=1,1h$. Здесь кривая 1 соответствует величине σ_z при ударе стаканом, кривая 2 — цилиндром. Аналогично кривая 3 соответствует величине σ_r при ударе стаканом, кривая 4 — цилиндром. Эти зависимости показывают, что при ударе цилиндром растягивающие напряжения, вообще говоря, выше, чем при ударе стаканом, кривая 2 (удар цилиндром) изменяется более плавно, чем кривая 1 (удар стаканом).

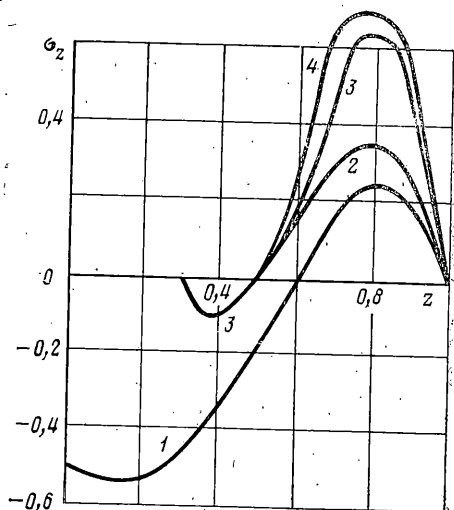
Фиг. 5 иллюстрирует зависимость компоненты σ_z от координаты z при $r=\text{const}$ как в случае удара стаканом (кривые 1, 3), так и в случае удара цилиндром (кривые 2, 4). Здесь линии со штрихами соответствуют значению $r=0,33$, без штрихов — $r=0,59$. Из этой фигуры также следует, что величина растягивающих напряжений ($\sigma_z > 0$) при ударе стаканом меньше, чем при ударе цилиндром, а также ширина области, в которой действуют растягивающие напряжения, «уже».

На фиг. 6 показаны зависимости компоненты скорости v_z от r при $z=1,1h$ при ударе цилиндром (кривая 2) и ударе стаканом (кривая 1). Сопоставляя эти зависимости с зависимостями на фиг. 4, следует обратить внимание на тот факт, что при ударе стаканом напряжения σ_z получаются меньше, чем при ударе цилиндром, а скорости v_z , наоборот, при ударе стаканом больше, чем при ударе цилиндром.

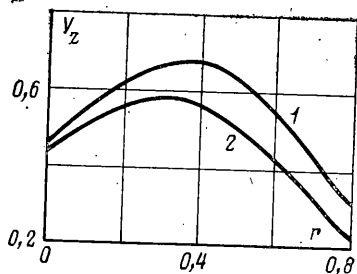
Откольные разрушения, как правило, приводят либо к ослаблению, либо к отрыву центральной части мишени. Расстояние от тыльной поверхности мишени до области, где происходит разрушение, приблизительно равно толщине ударника, т. е. в тех точках мишени, где раньше всего возникают интенсивные растягивающие напряжения. Кривые на фиг. 4–6 дают представление о распределении скоростей и характере напряженного состояния среды в те моменты времени и в той области, где формируется откольное разрушение. Как видно из фигур, это состояние довольно сложное, хотя на свободной поверхности мишени $z=0$ может оказаться, что с достаточной степенью точности скорости примерно постоянны на некотором отрезке $0 \leq r \leq r_0$ ($z=0$).



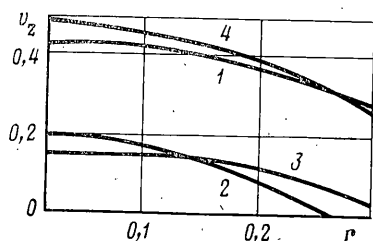
Фиг. 4



Фиг. 5



Фиг. 6



Фиг. 7

Эти заключения подтверждаются результатами расчетов. Расчеты показывают, что при ударе стаканом на свободной поверхности мишени в течение короткого интервала времени скорость v_z постоянна на отрезке $0 \leq r \leq 0,3R_2$, R_2 — радиус мишени. Это видно из фиг. 7, где линия 3 показывает зависимость v_z от r при $t=1,2$ при ударе стаканом. Аналогично кривая 1 показывает зависимость v_z от r при ударе цилиндром.

В последующие моменты времени картина изменяется. На фиг. 7 показаны зависимости v_z от r на свободной поверхности мишени в момент времени $t=1,4$; кривая 2 соответствует удару цилиндром, кривая 4 — стаканом. Из фигуры видно, что кривые 2, 4 с достаточной степенью точности можно считать параллельными и теперь на этих кривых только приближенно можно выделить отрезок, на котором скорость v_z примерно постоянна.

Таким образом, расчеты подтверждают, что при экспериментальном исследовании откольных явлений более целесообразно использовать ударник в форме стакана, так как в этом случае на тыльной поверхности мишени около оси симметрии распределение скоростей близко к распределению скоростей в плоской волне.

Автор выражает благодарность Н. А. Златину и Н. В. Зволинскому за постановку задачи и внимание к работе.

ЛИТЕРАТУРА

1. Златин Н. А., Мочалов С. М., Пугачев Г. С., Брагов А. М. Временные закономерности процесса разрушения металлов при интенсивных нагрузках. — Физ. твердого тела, 1974, т. 16, № 6, с. 1752—1755.
2. Златин Н. А., Пугачев Г. С., Мочалов С. М., Брагов А. М. Временная зависимость прочности металлов при долговечностях микросекундного диапазона. — Физика твердого тела, 1975, т. 17, № 9, с. 2599—2602.
3. Воловец Л. Д., Златин Н. А., Пугачев Г. С. О возможности экспериментального изучения кинетики разрушения полиметилметакрилата при интенсивных нагрузках микросекундной длительности. — Письма в ЖТФ, 1978, т. 4, вып. 8, с. 451—455.

4. Годунов С. К., Забродин А. В., Иванов М. Я., Крайко А. Н., Прокопов Г. П. Численное решение многомерных задач газовой динамики. М.: Наука, 1976. 400 с.
 5. Глушко А. И. Численное исследование полей напряжений при соударении цилиндров. — Изв. АН СССР. МТТ, 1980, № 2, с. 104–112.

Москва

Поступила в редакцию
6.IX.1983

УДК 539.3

ОДНА ПЛОСКАЯ ОБРАТНАЯ ЗАДАЧА НЕЛИНЕЙНОЙ ТЕОРИИ УПРУГОСТИ

ДОБОРДЖИНИДЗЕ Л. Г.

В условиях плоской деформации рассматривается упругопластическая задача определения в бесконечном теле из нелинейно-упругого материала гармонического вида равнопрочного контура отверстия [1, 2]. Предполагается, что в момент зарождения пластическая область охватывает весь контур отверстия, не проникая в глубь тела [3]. Задача решена на основании комплексных представлений полей упругих элементов для гармонической упругой среды через две аналитические в рассматриваемой физической области функции. Искомые контуры определены в виде семейства подобных эллипсов. Для линейного, классического случая эта задача решена в [2]. В публикуемой работе задача рассматривается в нелинейной постановке.

1. Пусть упругий материал занимает плоскость переменной $z = x + iy$ с криволинейным отверстием (произвольной формы). К контуру L этого отверстия приложены постоянные нормальное давление и касательное напряжение $\sigma_n = p_0$, $\tau_n = \tau_0$, а на бесконечности среда подвергается двукосному растяжению вдоль координатных осей [4]: $X_x^{(\infty)} = N_1$, $Y_y^{(\infty)} = N_2$, $X_y^{(\infty)} = 0$.

Под действием этих усилий на контуре L возникает пластический пояс (слой нулевой толщины), в области которого среда находится в состоянии идеальной пластичности, характеризуемой условием (постоянная k — предел текучести при чистом сдвиге) [5]:

$$(X_x - Y_y)^2 + 4X_y^2 = 4k^2 \quad (1.1)$$

Из (1.1) следует, что во всех точках искомого контура L должно быть

$$\sigma_t = p_0 \pm 2\sqrt{k^2 - \tau_0^2} \quad (1.2)$$

где σ_t — искомое тангенциальное нормальное напряжение. Знак перед радикалом выбирается из физических соображений [2].

В принятой постановке требуется найти форму и расположение контура L таким, чтобы во всех его точках напряжение σ_t , определяемое соотношением (1.2), было постоянным.

Для решения задачи воспользуемся комплексными представлениями полей напряжений и деформаций гармонического нелинейно-упругого материала через две аналитические в рассматриваемой физической области S функции $\varphi(z)$ и $\psi(z)$ [6]:

$$X_x + Y_y + 4\mu = \frac{\lambda + 2\mu}{\sqrt{J}} q \Omega(q), \quad Y_y - X_x - 2iX_y = -\frac{4(\lambda + 2\mu)}{\sqrt{J}} \frac{\Omega(q)}{q} \frac{\partial z^*}{\partial z} \frac{\partial z^*}{\partial \bar{z}} \quad (1.3)$$

$$\frac{\partial z^*}{\partial z} = \frac{\mu}{\lambda + 2\mu} \varphi''(z) + \frac{\lambda + \mu}{\lambda + 2\mu} \frac{\varphi'(z)}{\varphi'(z)}, \quad q = 2 \left| \frac{\partial z^*}{\partial z} \right|, \quad \Omega(q) = q - \frac{2(\lambda + 2\mu)}{\lambda + \mu} \quad (1.4)$$

$$\sqrt{J} = \left| \frac{\partial z^*}{\partial z} \right|^2 - \left| \frac{\partial \bar{z}^*}{\partial z} \right|^2, \quad \frac{\partial \bar{z}^*}{\partial z} = -\frac{\lambda + \mu}{\lambda + 2\mu} \left[\frac{\varphi(z) \overline{\varphi''(z)}}{\varphi'^2(z)} - \overline{\varphi'(z)} \right]$$

где λ , μ — упругие постоянные Ламе, $z^* = x^* + iy^*$ — комплексная координата в деформированной области. Функции $\varphi(z)$ и $\psi(z)$ при больших $|z|$ имеют представления

$$\varphi(z) = a_0 z + O(z^{-1}), \quad \psi(z) = b_0 z + O(z^{-1}) \quad (1.5)$$

$$a_0 = \left[\frac{\lambda + \mu}{\mu} \frac{2\mu(N_1 + N_2) + N_1 N_2 + 4\mu^2}{\lambda(N_1 + N_2) - N_1 N_2 + 4\mu(\lambda + \mu)} \right]^{1/2}, \quad b_0 = \frac{(\lambda + 2\mu)(N_1 - N_2)}{\lambda(N_1 + N_2) - N_1 N_2 + 4\mu(\lambda + \mu)} \quad (1.6)$$